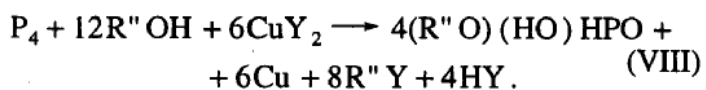
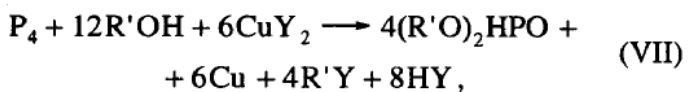
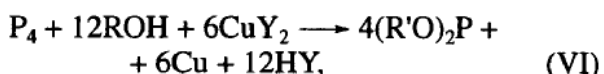
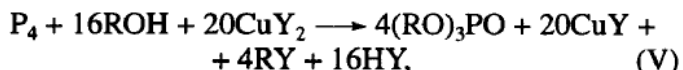
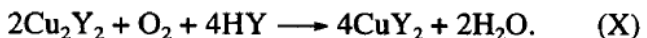


ной атмосфере (Ar) также сопровождается резким смещением редокс-потенциала пары $\text{Cu(II)}/\text{Cu(I)}$ в катодную сторону до постоянного значения (рис. 3а). С скачок потенциала происходит в течение 2 - 3 мин. Величина $\Delta\Phi$, достигающая 0.3 - 0.5 В, и время резкого смещения φ в катодную сторону не зависят от содержания O_2 в газовой смеси. Анализ продуктов реакции показал, что в атмосфере Ar и O_2 образуются одни и те же вещества. В инертной атмосфере тетрафосфор восстанавливает ионы Cu(II) до Cu(I) и Cu(O) .



Ионы Cu(I) образуются при отношении $[\text{Cu(II)}]/[\text{P}_4] > 20$, а Cu(O) – при $[\text{Cu(II)}]/[\text{P}_4] \leq 20$. Добавление O_2 к аргону приводит к реокислению Cu(I) и Cu(O) в Cu(II) (рис. 3б).



Алкилсульфаты гидролизуются образующейся H_2O , вновь давая спирт (XI), а алкилкарбоксиляты накапливаются в растворе.



На окислительное алcoxилирование одного моля P_4 во всех случаях расходуется 3 - 5 молей кислорода, что соответствует стехиометрии реакций (I) - (IV) (табл. 1). Следовательно, O_2 не участвует в реакциях окисления ROH , PhMe и др. Скорость окислительного алcoxилирования P_4 и выход ФОС (табл. 1) зависят от температуры и концентрации компонентов раствора CuY_2-P_4 -спирт-арен-(Py; H_2O ; $\text{CH}_3\text{CO}_2\text{H}$)- O_2 . Для описания кинетики реакций (I) - (IV) был использован метод стационарных концентраций [8]. Из экспериментальных данных следует, что эти реакции лимитируются стадиями восстановления Cu(II) тетрафосфором (V) - (VIII) и окисления Cu(I) кислородом (X). В начале опыта, до достижения максимальной скорости поглощения кислорода (w_{\max}), происходит формирование комплексов, ответственных за катализ; они содержат в координационной сфере реагенты (P_4 и ROH) и рас-

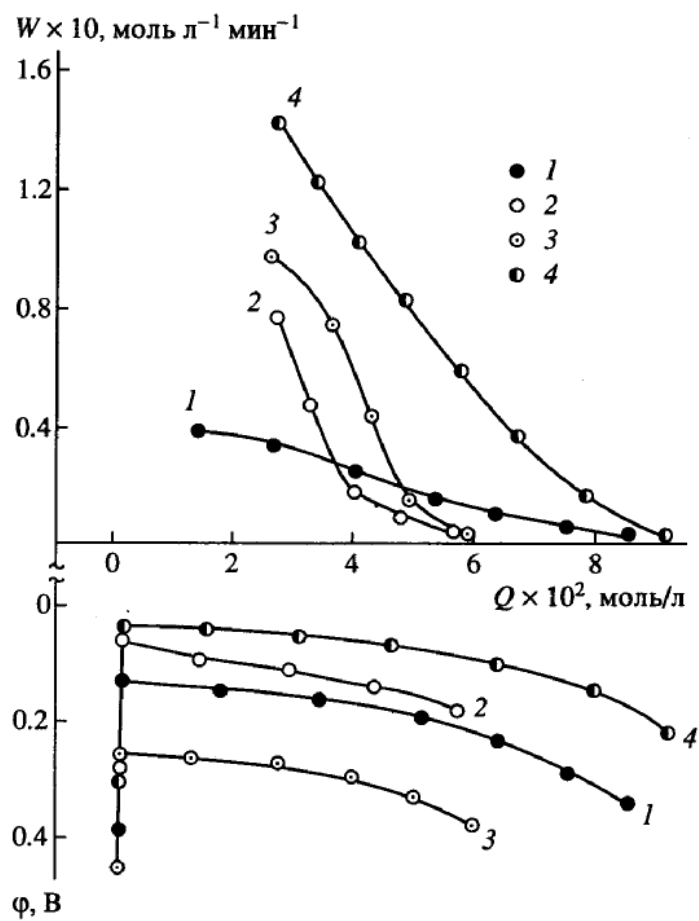


Рис. 2. Конверсионные и потенциометрические кривые окислительного алcoxилирования P_4 в растворе $\text{Cu}(\text{C}_3\text{H}_7\text{CO}_2)_2-\text{ROH}-\text{Py}-\text{PhMe}$ при 353 К в атмосфере O_2-Ar : 1 – $\text{R} = i\text{-Am}$, $[\text{Kt}] = 0.2$, $[\text{P}_4] = 1.9 \times 10^{-2}$, $[\text{ROH}] = 4.6$, $[\text{PhMe}] = 1.9$, $[\text{O}_2] = 4.2 \times 10^{-4}$ моль $^{-1}$; 2 – $\text{R} = \text{Am}$, $[\text{Kt}] = 0.4$, $[\text{P}_4] = 1.3 \times 10^{-2}$, $[\text{ROH}] = 6.4$, $[\text{PhMe}] = 0.9$, $[\text{O}_2] = 4.2 \times 10^{-4}$ моль/л; 3 – $\text{R} = \text{Bu}$, $[\text{ROH}] = 7.6$, $[\text{O}_2] = 4.6 \times 10^{-4}$ моль/л, остальное то же; 4 – $\text{R} = \text{Bu}$, $[\text{Kt}] = 0.2$, $[\text{P}_4] = 1.9 \times 10^{-2}$, $[\text{ROH}] = 2.2$, $[\text{PhMe}] = 1.9$, $[\text{O}_2] = 4.6 \times 10^{-4}$, $[\text{Py}] = 7.4$ моль/л.

творители (Py, RCO_2H). В стационарных условиях, когда прекращается накопление промежуточных комплексов, скорости обеих ключевых стадий уравниваются:

$$k_b[\text{ROH}][\text{P}_4][\text{Cu(II)}] = k_{\text{ок}}[\text{Cu(I)}][\text{O}_2], \quad (1)$$

где $[\text{ROH}]$, $[\text{P}_4]$, $[\text{Cu(II)}]$, $[\text{Cu(I)}]$, $[\text{O}_2]$ – концентрации соответствующих реагентов в жидкой фазе в момент достижения максимума на кинетических и конверсионных кривых в моль/л; k_b и $k_{\text{ок}}$ – константы скорости реакций (V) - (VIII) и (X) соответственно.

Суммарная концентрация меди в растворе

$$[\text{Cu}]_{\Sigma} = [\text{Cu(II)}] + [\text{Cu(I)}]. \quad (2)$$